

Fiziksel Optik Yaklaşımının Radon Dönüşümü Yorumu ile NURBS Yüzeyleri Üzerinden Radar Kesit Alanı (RKA) Hesaplanması

Hüseyin A. Serim, A. Arif Ergin
Gebze Yüksek Teknoloji Enstitüsü
Elektronik Mühendisliği Bölümü
Gebze, Kocaeli.
haserim@gyte.edu.tr , aergin@gyte.edu.tr

Özet: Yüksek frekans asimptotik tekniklerinden biri olan *Fiziksel Optik (FO)* yaklaşımı, dalgaboyuna göre büyük yapılardan saçılmanın incelenmesinde, hızlı sonuç vermesi nedeniyle hala önemli bir rol oynamaktadır. Bu yaklaşımında, cisimden saçılan alanların bulunabilmesi için, cisim üzerinde induklenen yüzey akımlarının bulunması ve bu akımlardan saçılan alan integralinin hesaplanması gerekmektedir. Bilgisayar grafikleri ve bilgisayar destekli tasarımın önemli bir aracı olan NURBS yüzeyleri üzerinde akım dağılımları belirlenemelikte ve saçılan alanlar nümerik integrasyon ya da asimptotik yöntemlerle hesaplanabilmektedir. Bu çalışmada, NURBS yüzeyleri üzerinde induklenen akımlar FO yöntemi ile bulunduğundan, saçilan alanların uzak alandaki formülasyonu NURBS yüzeyleri üzerinden FO integrali olarak adlandırılmaktadır. Sonucunu bulmak için FO integrali zaman uzayına geçirilerek Radon dönüşümü olarak yorumlanmıştır ve NURBS yüzeyi üzerinde alındığında kapalı formdaki tam analitik sonuca ulaşılmıştır. Sonuçların doğruluğu ve radar kesit alanı hesaplamadaki başarısı uygulamalarla gösterilmiştir.

1. Giriş

FO integralin analitik olarak hesaplanması, sadece üçgenler gibi basit geometrik yapılar üzerinden gerçekleştirilebilir [1][2]. Cisim üzerindeki eğrilik yançıplarını poligon modellemesine göre daha gerçekçi ifade edebildiğinden, NURBS yüzeylen bilgisayar grafiklerinin ve bilgisayar destekli tasarımın günümüzdeki en önemli aracıdır [3]. NURBS yüzeyleri üzerinden saçılma ve radar kesit alanı (RKA, *Radar Cross Section-RCS*) hesaplamaları bu nedenle önemli bir ilgi alanı haline gelmiştir. Fakat NURBS yüzeyleri üzerinden FO integrali günümüze kadar sadece nümerik veya asimptotik olarak frekans uzayında yaklaşık sonuçlar tıretecek şekilde elnabilmiştir [4]. Geniş bantlı elektromanyetik dalgelerin saçılma analizi, zaman uzayı çözümlerinin önemini artırmaktadır. FO tekniğini zaman uzayına taşıyan yöntemler [5] de frekans uzayı çözümleri gibi yaklaşık sonuçlar vermektedir. Bu çalışmada, NURBS yüzeyler üzerinden alınması gereken FO integralinin tam analitik sonucunun zaman uzayında bulunması anlatılacaktır.

Mükemmel iletken cismin yüzeyi ile etkileşen elektromanyetik dalga, bu cismin yüzeyinde akımlar induklenmesine sebep olur. Bu akımlar saçılan alanları oluşturur. Saçilan alanların hesaplanması için NURBS yüzeyi üzerinden FO integrali zaman uzayında Radon dönüşümü ile yorumlanarak analitik olarak hesaplanmaktadır. Radon dönüşümü ile zaman uzayında NURBS yüzeyi üzerinden FO integrali, basit zaman uzayı cevapları olarak belirir. Geri saçılma durumunda bu cevaplar, gelen dalganın dalga önyüzeyi (*wavefront*) ile NURBS yüzeyinin kesişiminden oluşan eğri parçasının uzunluğunun zamana göre değişimini ile NURBS yüzeyinin o noktadaki yüzey normalinin çarpımıdır. Bu zaman uzayı cevabının, ters Fourier transformu alınmakta ve bu yolla tekrar frekans uzayına geçirilerek tam analitik çözüme de ulaşılabilmektedir.

2. NURBS Yüzeyleri Üzerinden FO İntegrali ve Tam Çözüm

Fiziksel Optik integrali, kaynağı ve gözlem noktasının uzak alanda olması, başka bir deyişle cisimle etkileşen dalganın düzlemsel olduğu varsayımlı ile elde edilir. Bu şartlar altında, gelen dalga \hat{p}_i polarizasyonunda, E_i genliğinde ve \hat{k}_i yönünde ilerleyen bir düzlemsel dalga ise elektrik alan ifadesi, $E_i(r, \omega) = \hat{p}_i E_i(\omega) \exp(-jk\hat{k}_i \cdot r)$, manyetik alan ifadesi ise $H_i(r, \omega) = \eta_0^{-1} E_i(\omega) \hat{k}_i \times \hat{p}_i \exp(-jk\hat{k}_i \cdot r)$ şeklindedir. Burada $k = 2\pi/\lambda$ dalga sayısı, η_0 ise boşluğun karakteristik empedansıdır. Bu manyetik alan, mükemmel iletken bir saçıcı S yüzeyi üzerinde $J(r, \omega)$ akım yoğunluğunu oluşturur. Fiziksel optik

yaklaşımında, S 'nin aydınlatılmış yüzeyinden dışarıya doğru olan yüzey normali $\hat{n} = \hat{n}(r)$ kullanılarak akım yoğunluğu,

$$J(r, \omega) = 2\hat{n} \times H_i(r, \omega) = 2\hat{n} \times \hat{k}_i \times \eta_0^{-1} E_i(r, \omega) = 2\eta_0^{-1} E_i(\omega) \hat{n} \times \hat{k}_i \times \hat{p}_i \exp(-jk\hat{k}_i \cdot r) \quad r \in S \quad (1)$$

şeklinde yazılabilir. Saçılan alan $E_S(r)$, $J(r)$ akım yoğunluğunun oluşturduğu alandır ve $r = r \hat{k}_S$ gözlem noktasındaki değeri,

$$E_S(r, \omega) = -\frac{j\omega}{4\pi k^2} \nabla \times \nabla \times \int_S J(r', \omega) \frac{e^{-jk|r-r'|}}{|r-r'|} dr' . \quad (2)$$

formülü ile bulunur. Gözlem noktasının uzak alanda olduğu varsayımla $E_S(r, \omega)$ için basitleştirilmiş formül aşağıdaki gibi yazılabılır.

$$E_S(r, \omega) = \frac{j\omega}{2\pi c} E_i(\omega) \frac{e^{-jkr}}{r} \hat{k}_S \times \hat{k}_S \times (\hat{k}_i \times \hat{p}_i) \times \int_S \hat{n}(r') e^{-jk(\hat{k}_i - \hat{k}_S) \cdot r'} dr' \quad (3)$$

Denklem (3) ile ifade edilen eşitlik FO integralidir.

Bir $S(u, v)$ NURBS yüzeyi aşağıdaki formüller ile tanımlanır.

$$S(u, v) = \frac{\sum_{i=0}^n \sum_{j=0}^m w_{i,j} P_{i,j} N_{i,p}(u) N_{j,q}(v)}{\sum_{i=0}^n \sum_{j=0}^m w_{i,j} N_{i,p}(u) N_{j,q}(v)} \quad (4)$$

Bu ifadede, $w_{i,j}$ ağırlıklar, $P_{i,j}$ kontrol noktaları, $N_{i,p}(u)$ ile $N_{j,q}(v)$ ise u and v yönlerinde p ve q dereceden normalize B-spline'lardır. Bu B-spline'lar düğüm vektörleri olan U ve V üzerinden tanımlanır.[3] Aydınlık yüzey, birbiriley kesişmeyen S_n , ($n = 1, \dots, N$) olmak üzere N adet NURBS yüzeyinden oluşuyorsa, $E_S(r, \omega)$ şu şekilde yazılabılır.

$$E_S(r, \omega) = \frac{j\omega}{2\pi c} E_i(\omega) \frac{e^{-jkr}}{r} \hat{k}_S \times \hat{k}_S \times (\hat{k}_i \times \hat{p}_i) \times \sum_{n=1}^N h_n(\omega) \quad (5)$$

Bu ifadedeki $h_n(\omega)$ vektörel bir büyüklüktür ve şu şekilde tanımlanır.

$$h_n(\omega) = \int_{S_n} \hat{n}(r') e^{-jk(\hat{k}_i - \hat{k}_S) \cdot r'} dr' = \int_{S_n} \hat{n}(r') e^{-j\omega(2/c)k_r \cdot r'} dr' \quad (6)$$

Bu denklemde $k_r = (\hat{k}_i - \hat{k}_S)/2$ şeklinde yeni bir vektör tanımlanmıştır. Denklem (6) ile verilen $h_n(\omega)$ değerinin analitik sonucunun bulunabilmesi için zaman uzayı ifadesi $h_n(t)$,

$$h_n(t) = \int_{-\infty}^{\infty} h_n(\omega) e^{-j\omega t} d\omega = \int_{S_n} \hat{n}(r') \delta\left(t - \frac{2}{c} k_r \cdot r'\right) dr' \quad (7)$$

şeklinde yazılabilir. $h_n(t)$, k_r yönünde S_n ile belirlenmiş NURBS yüzeyinin yüzey normali $\hat{n}(r')$ 'nın Radon transformudur. Radon transformu, zaman ekseni boyunca bakis açısına dik ve $2k_r \cdot r' = ct$ ile tanımlanan düzlemlerle NURBS yüzeyi S_n 'nin arakesiti olan eğrinin uzunluğudur ve yüzey normali $\hat{n}(r')$ çarpım olarak hesaba eklenir. Ve sonunda ifade,

$$E_S(r, \omega) = \frac{j\omega}{2\pi c} E_i(\omega) \frac{e^{-jkr}}{r} \hat{k}_S \times \hat{k}_S \times (\hat{k}_i \times \hat{p}_i) \times \sum_{n=1}^N \mathcal{F} \left\{ \sum_{k=1}^K \frac{1}{\|\hat{n}_k(t) \cdot \hat{n}\|} \hat{n}_k(t) d_k(t) \right\} \quad (8)$$

haline dönüştür [6]. Bu ifadede, r_k arakesit doğrusu üzerindeki noktalar iken, $\hat{\mathbf{i}} = (\mathbf{r}_2 - \mathbf{r}_1) / \| \mathbf{r}_2 - \mathbf{r}_1 \|$ ve $\hat{\mathbf{m}} = \hat{\mathbf{k}}_y \times \hat{\mathbf{i}}$ seçimiyle elde edilen yeni kartezyen koordinat sisteminde, kesit eğrisi üzerindeki iki nokta arası uzaklığın $\hat{\mathbf{i}}$ eksenine izdüşümü uzunluğu d_k , $d_k = (\mathbf{r}_{k+1} - \mathbf{r}_k) \cdot \hat{\mathbf{i}}$ şeklindedir.

4. Uygulamalar

Bu bölümde, analitik sonuçlar ile çıkartılan formülasyonun doğruluğu ve tutarlılığı karşılaştırılmaktadır. Cisimlerin RKA değerleri $\sigma = \lim_{r \rightarrow \infty} 4\pi r^2 |\mathbf{E}_i|^2 / |\mathbf{E}_i|^2$ formülü ile hesaplanarak sonuçlar grafiklerle gösterilmektedir. Öncelikle, saçılıan elektrik alan zaman uzayında,

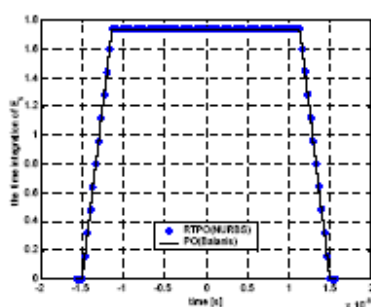
$$r \partial_t^{-1} \mathbf{E}_i(\mathbf{r}, t - r/c) = \frac{1}{2\pi c} \hat{\mathbf{k}}_z \times \hat{\mathbf{k}}_z \times (\hat{\mathbf{k}}_i \times \hat{\mathbf{p}}_i) \times \sum_{n=1}^N \left\{ \sum_{k=1}^K \frac{1}{\|\hat{\mathbf{n}}_k(t) \cdot \hat{\mathbf{m}}\|} \hat{\mathbf{n}}_k(t) d_k(t) \right\} \quad (9)$$

şeklinde ifade edilerek, analitik sonuç ile Radon dönüşümü yorumu karşılaştırılmıştır. Analitik sonuçlar, dikdörtgen plaka için Balanis [7] esas alarak çıkartılmış ve en genel halde, zaman uzayında iki dikdörtgen darbeinin konvolusyonu olduğu görülmüştür. Zaman uzayı cevabı olarak da adlandırılabilceğimiz bu sonuçlar Şekil 1'de yer almaktadır.

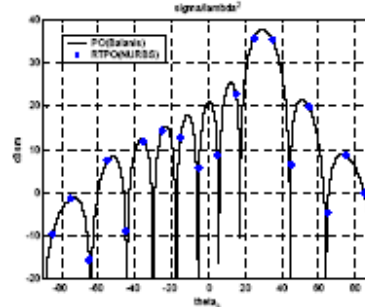
Ayrıca, analitik ve nümerik yöntemlerle bulunan RKA değerleri küre ve kare plaka gibi kanonik yapılar için karşılaştırılmıştır. Örneğin, kenar uzunluğu a olan bir plakanın FO yöntemiyle hesaplanan bıstatik RKA değeri [7]'de verilmiştir. Kenar uzunluğu $a = 5\lambda$ olan xy düzlemindeki bir kare plaka $\hat{\mathbf{k}}_i = \sin(150^\circ)\hat{y} + \cos(150^\circ)\hat{z}$ yönünde ilerleyen bir düzlemsel dalga ile aydınlatıldığında bıstatik RKA değerleri hesaplanmış ve sonuçlar Şekil 2'de gösterilmiştir. Nümerik hesaplama için kare plaka bir NURBS yüzeyi ile modellenmiş, Radon dönüşümü (RT) yöntemleri ile nümerik sonuçlar elde edilmiştir.

5. Sonuçlar

Bu çalışmada kaynak ve gözlem noktasının uzak alanda olduğu durumda FO integralinin analitik tam çözümü için yeni bir yöntem sunulmuştur. Frekans uzayında alınması gereken yüzey integrali zaman uzayına geçirilerek Radon transformu olarak yorumlanmış ve sonuçlar NURBS yüzeyi için kapalı formda bulunabilmiştir.



Şekil 1. S_n NURBS yüzeyinin bir k_y yönündeki zaman uzayı cevabı.



Şekil 2. $5\lambda \times 5\lambda$ boyutundaki plakanın bıstatik RKA değeri.

Kaynaklar

- [1] W.B. Gordon, "Far-field approximations to the Kirchhoff-Helmholtz representation of scattered fields", IEEE Trans. Antennas and Propagation, 23, s.590–592, 1975
- [2] D. Böltükbaş ve A.A. Ergin, "A Radon Transformation Interpretation of the Physical Optics Integral", Microwave and Optical Technology Letters, 44, s.284-288, 2005
- [3] L. Piegl, "On NURBS: A Survey", IEEE Computer Graphics and Applications, 11(1), s.55-71, 1991
- [4] J. Pérez ve M.F. Cátedra, "Application of physical optics to the RCS computation of bodies modeled with NURBS surfaces", IEEE Trans. Antennas and Propagation, 42, s.1404–1411, 1994
- [5] E.Y. Sun ve W.V.T. Rusch, Time-domain physical-optics", IEEE Trans. Antennas and Propagations, 42, s. 9–15, 1994
- [6] W. Kaplan, Advanced Calculus, 5th ed., Addison-Wesley, Boston, 2003
- [7] C. A. Balanis, Advanced Engineering Electromagnetics, John Wiley and Sons, 1989